

سنتز و مشخصه‌یابی ذرات مغناطیسی فریت کلسیم پوشش داده شده با پلی اتیلن گلایکول برای گرمادرمانی

عباس خردمند^۱، امید وحیدی^{۱*}، سید مرتضی مسعودپناه^۲

^۱دانشکده مهندسی شیمی، نفت و گاز، دانشگاه علم و صنعت ایران

^۲دانشکده مهندسی مواد و متالورژی، دانشگاه علم و صنعت ایران

* ovahidi@iust.ac.ir

چکیده:

در این پژوهش، سنتز ذرات مغناطیسی فریت کلسیم تک فاز که با پلی اتیلن گلایکول با استفاده از روش سولوترمال پوشش داده شده است، تشریح شده است. بدین منظور، سه نمونه با پوشش پلی اتیلن گلایکول در مقادیر مختلف و یک نمونه بدون پوشش در محیط اتیلن گلایکول سنتز شده است. ترکیب فازی و توزیع کاتیونی نمونه‌های سنتز شده با استفاده از دستگاه پراش پرتو ایکس و اندازه و شکل ذرات با استفاده از میکروسکوپ الکترونی رویشی نشر میدانی بررسی شده است. نتایج آزمون پراش پرتو ایکس نشان می‌دهد که ساختار کریستالی تمامی نمونه‌ها از نوع مکعبی اسپینل با ساختار معکوس جزئی است. تصاویر گرفته شده توسط میکروسکوپ الکترونی رویشی نشر میدانی نشان می‌دهد که با افزایش درصد پلی اتیلن گلایکول، اندازه ذرات کاهش می‌یابد. نتایج آزمون طیف‌سنجی پراکندگی انرژی پرتو ایکس حضور عناصر کلسیم، آهن و اکسیژن را در نمونه سنتز شده فریت کلسیم بدون پوشش تایید می‌کند. حضور پلی اتیلن گلایکول بر روی نمونه‌های پوشش داده شده توسط آزمایش ترمومگرومتری نشان داده شده است. خواص مغناطیسی نمونه‌ها با دستگاه مغناطیس سنج نمونه مرتتعش بررسی و میزان مغناطش اشباع حدکثر پوشش بدلست آمده است. همچنین، وجود پلی اتیلن گلایکول بر روی ذرات پوشش یافته توسط کاهش یافتن خاصیت مغناطیسی مواد متناسب با مقادیر پوشش مجدد تایید شده است. با استفاده از روش هایپرترمیایی مغناطیسی، توانایی تولید گرما توسط ذرات مغناطیسی سنتز شده که تحت یک میدان مغناطیسی متناوب قرار گرفته بودن، بررسی شده و نتایج نشان می‌دهد که ذرات سنتز شده بدون پوشش و با حدکثر پوشش به ترتیب دارای میزان انتلاف مغناطیسی W/g ۱/۱۲ و W/g ۰/۵۶ هستند.

اطلاعات مقاله:

دربافت: ۱۶ اردیبهشت ۱۳۹۷

پذیرش: ۱۳ خرداد ۱۳۹۷

کلید واژه:

فریت کلسیم، پوشش پلی اتیلن گلایکول، سولوترمال، هایپرترمیایی مغناطیسی

پژوهشی تحقیقات گستره‌ای را به خود اختصاص داده است

[۱، ۲] و در میان آنها، ذرات فریت‌های مغناطیسی با ساختار

اسپینل و با فرمول شیمیایی کلی به صورت MFe_2O_4 (که

۱- مقدمه

استفاده از مواد مغناطیسی در کاربردهای مختلف مهندسی



(PLGA) [۱۰]، پلی لاكتیک کو گلایکولیک [۱۱]، پلی اتیلن گلایکول (PEG) [۱۲] و غیره اشاره کرد. از جمله کاربردهای ذرات مغناطیسی، استفاده از آنها در درمان سرطان به روش هایپرترمیا مغناطیسی است. البته این روش عموماً در ترکیب با دیگر روش‌های درمان سرطان نظیر شیمی‌درمانی انجام می‌شود [۱۳]. در روش هایپرترمیا مغناطیسی، سیال حاوی ذرات مغناطیسی به بافت سرطانی مورد نظر تزریق می‌شود و بعد از قرار گرفتن بافت در مجاورت یک میدان مغناطیسی متناوب، دمای بافت بصورت موضعی بواسطه رفتار مغناطیسی ذرات مغناطیسی تزریق شده (از طریق پدیده‌های چون پسماند مغناطیسی، آسایش نیزل و آسایش براون) بالا می‌رود که این امر سبب از بین رفتن سلول‌های سرطانی می‌شود [۱۴]. بدین منظور، ذرات مغناطیسی سنتر شده باید دارای خواص مغناطیسی مناسب و دارای زیست‌سازگاری به اندازه کافی باشند تا بتوانند در این روش درمانی بطور موثرتری مورد استفاده قرار گیرند. به عنوان نمونه، آقای لی و همکاران [۱۵] با سنتر نانوذرات مغناطیسی فریت‌های آهن، کبالت و منگنز و آزمایش آنها بر موش‌های سرطانی، توانستند بافت توموری موجود را با استفاده از روش گرمادرمانی از بین ببرند. در پژوهش دیگری که توسط سعیدی و همکاران انجام شد [۱۶]، توسط نانوذرات مغناطیسی مگنتایت (Fe_3O_4) پوشش داده شده با گلیسیرهیزیک اسید و روش هایپرترمیا مغناطیسی، روند رشد سلول‌های سرطانی فیربوبلاست L929 موجود در محیط کشت RPMI-1640 معکوس و سبب مرگ سلولی آنها شد. در پژوهش حاضر، ذرات مغناطیسی فریت اسپنل کلسیم با

در این فرمول عنصر M شامل فلزات مختلفی نظیر آهن، کبالت، نیکل، کلسیم، منیزیوم و غیره است) به علت دارا بودن خواص فیزیکی و شیمیایی منحصر بفرد مورد توجه ویژه قرار گرفته‌اند [۳]. شکل فضایی سلول واحد فریت‌های اسپنل بصورت مکعبی وجوده مرکزپر از اتم‌های اکسیژن و شامل ۳۲ موقعیت بین نشین هشت‌وجهی و ۶۴ موقعیت بین نشین چهاروجهی با کاتیون‌های دو و سه ظرفیتی فلزی می‌باشد.

تا حال پژوهش‌های گسترده‌ای در مورد فریت‌های اسپنل حاوی فلزات واسطه مانند آهن، کبالت، نیکل، روی، منگنز و غیره همراه با انواع پوشش‌ها در کاربردهای گرمادرمانی صورت گرفته است اما پژوهش‌های محدودی در مورد فریت‌های اسپنل شامل فلزات قلیایی خاکی مانند فریت کلسیم و منیزیوم انجام شده است. از آنجایی که بسیاری از کاتیون‌های فلزی همانند کبالت، نیکل و منگنز بصورت ذاتی دارای سمیت برای محیط‌های زیستی هستند و از آن طرف، کلسیم طبیعت زیست سازگار دارد، فریت کلسیم می‌تواند در کاربردهای بیولوژیکی نقش موثری را در بین فریت‌های فلزی ایفا کند [۳، ۴]. به علاوه، یکی از روش‌هایی که می‌توان از آن برای ارتقای زیست‌سازگاری مواد استفاده کرد، استفاده از پوشش‌های زیست‌سازگار بر روی ذرات تولید شده است [۵]. همچنین، استفاده از پوشش‌ها می‌تواند به ارتقای سطح پایداری کلوئیدی ذرات در محیط‌های آبی نیز کمک کند [۶]. بدین منظور، از پلیمرهای طبیعی و مصنوعی متنوعی در پوشش‌های مغناطیسی استفاده شده است که میتوان به پوشش‌های دکستران [۷]، کیتوسان [۸]، گلیسیرهیزیک اسید [۹]



اضافه می‌شود. با اضافه شدن استات سدیم به محلول، محلول به رنگ قهوه‌ای در می‌آید و بعد از گذشت حدود ۵ دقیقه، محلول بصورت کفمانند تبدیل می‌شود. با ادامه همزدن محلول به مدت ۳۰ دقیقه، یک سل غلیظ بدست می‌آید. محتویات ظرف به یک اتوکلاو ۱۰۰ میلی‌لیتری انتقال و اتوکلاو به مدت ۲۲ ساعت در دمای ۱۸۰ درجه سانتی‌گراد در داخل یک گرم کن قرار داده می‌شود. رسوب سیاه رنگ با استفاده از آهنربای نئودیمیوم از محلول جدا می‌گردد و توسط اتانول و آب مقطمر در چندین مرتبه شستشو داده می‌شود. نهایتاً رسوب شسته شده در دمای ۸۰ درجه سانتی‌گراد به مدت ۶ ساعت در درون گرم کن خلاً خشک می‌شود. سنتز فریت کلسیم بدون پوشش (نمونه S1) نیز همانند سنتز ذرات پوشش‌دار است با این تفاوت که تنها پلی‌اتیلن گلایکول به محلول در حین سنتز اضافه نمی‌شود. Philips برای ارزیابی فازی نمونه‌های سنتز شده، از دستگاه X'pert pert پراش پرتو ایکس (XRD) با استفاده از تابش تکرنگ $\text{CuK}\alpha$ ($\lambda=1.5418\text{\AA}$) استفاده شده است. از نتایج بدست آمده از آزمون پراش پرتو ایکس، اندازه متعدد کریستالی نمونه‌ها از عرض پیک (۳۱۱) با استفاده از معادله شرمن محاسبه شده‌اند. برای آنالیز ساختار کریستالی و دستیابی به توزیع کاتیونی، از پالایش ریتولد با استفاده از نرم افزار MAUD استفاده شده است. وجود عنصر کلسیم، آهن و اکسیژن در نمونه بدون پوشش و عدم وجود عنصر دیگر توسط آزمون طیفسنجی پراکندگی انرژی پرتو ایکس (EDX) نشان داده شده است. حضور پلی‌اتیلن گلایکول بر روی نمونه‌های سنتز شده توسط آزمایش ترموگراویمتری مورد بررسی قرار گرفته است. برای تعیین مورفولوژی و

مقادیر مختلف پوشش پلی‌اتیلن گلایکول توسط روش سولوترمال در محیط اتیلن گلایکول سنتز شده‌اند. خواص فیزیکی و شیمیایی ذرات سنتز شده، توسط روش‌هایی چون FESEM، VSM، TG و XRD بر روی ذرات مغناطیسی سنتز شده بررسی شدند. جهت بررسی امکان استفاده از ذرات برای تولید گرما در میدان مغناطیسی متناوب، آزمایش هایپرترمیای مغناطیسی بر روی ذرات سنتز شده صورت گرفته است.

۲- فعالیت‌های تجربی

مواد $\text{Ca}(\text{NO}_3)_2 \cdot 4\text{H}_2\text{O}$, $\text{Fe}(\text{NO}_3)_3 \cdot 9\text{H}_2\text{O}$, پلی‌اتیلن گلایکول، اتیلن گلایکول، هیدروکسید سدیم و اسید کلریدریک به عنوان مواد اولیه سنتز به روش سولوترمال از شرکت Merck تهیه شده‌اند و بدون هیچگونه فرآوری ثانوی مورد استفاده قرار گرفته‌اند.

برای سنتز ذرات مغناطیسی فریت کلسیم پوشش‌دار، در ابتدا $2/5$ میلی‌مول $\text{Ca}(\text{NO}_3)_2 \cdot 4\text{H}_2\text{O}$ (معادل 590 میلی‌گرم) 2019 همراه با 5 میلی‌مول $\text{Fe}(\text{NO}_3)_3 \cdot 9\text{H}_2\text{O}$ (معادل 40 میلی‌گرم) به ظرف حاوی 40 میلی‌لیتر اتیلن گلایکول، اضافه می‌شود. در این حالت رنگ محلول به نارنجی تبدیل می‌شود. سپس مقادیر $1/148$ g، $1/915$ g و $3/96$ g پلی‌اتیلن گلایکول برای سنتز سه نمونه پوشش‌دار با میزان $S2$ ، $S3$ و $S4$ (به درصد وزنی (به ترتیب نمونه‌های 68 و 78 و 88) به محلول حاصل اضافه می‌شود و همزدن در دمای 40 درجه سانتی‌گراد تا رسیدن به محلول شفاف نارنجی رنگ ادامه پیدا می‌کند. در این مرحله، بدون متوقف کردن فرآیند همزدن، مقدار $7/2$ گرم سدیم استات به محلول



تنظیم و به مدت ۳۰ دقیقه، دمای نمونه هر ۵ دقیقه اندازه گرفته می‌شود و نمودار تغییرات دمای سوسپانسیون بر حسب زمان رسم می‌گردد می‌شود. با استفاده از نمودار حاصله، میزان اتلاف مغناطیسی (SLP) توسط رابطه زیر محاسبه می‌شود:

$$SLP = C_p \cdot \frac{m_f}{m_m} \cdot \left(\frac{\partial T}{\partial t} \right)_{t=0} \quad (1)$$

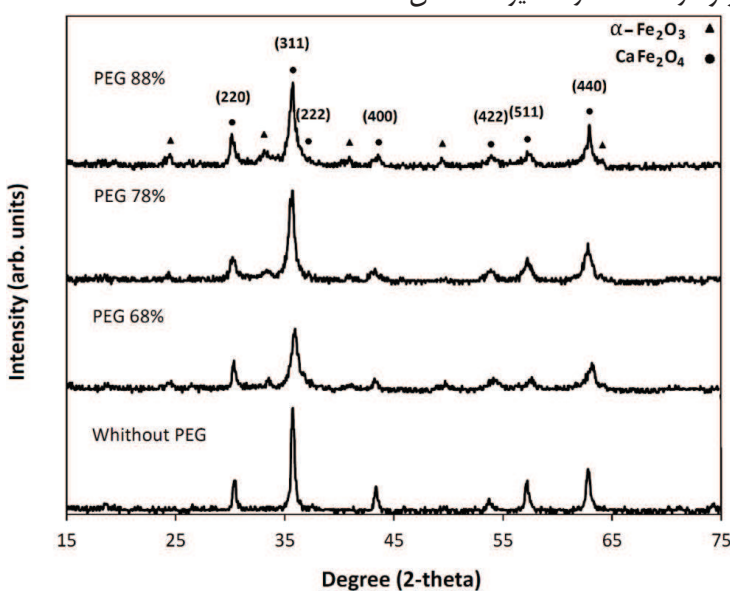
که در این رابطه، C_p ظرفیت گرمایی ویژه سوسپانسیون m_f جرم سوسپانسیون، m_m جرم ذرات مغناطیسی موجود در سوسپانسیون و $\left(\frac{\partial T}{\partial t} \right)_{t=0}$ شیب منحنی تغییرات دما بر حسب زمان در لحظه صفر است.

۳- نتایج و بحث

نمودار الگوی پراش پرتو ایکس برای نمونه‌های فریت کلسیم بودن پوشش و پوشش دار با پلی اتیلن گلایکول در شکل ۱ نشان داده شده است.

ساختار میکروسکوپی ذرات از میکروسکوپ الکترونی روبشی نشر میدان (TESCAN Vega II) (FE-SEM) استفاده شده است و از عکس‌های گرفته شده، توزیع اندازه ذرات از طریق برنامه Digimizer و Origion بر روی ۱۰۰ ذره که به صورت تصادفی انتخاب شده‌اند، بدست آمده است. برای اندازه‌گیری خواص مغناطیسی مواد سنتز شده در دمای اتاق، از مغناطیس سنج نمونه مرتعش (VSM) (شرکت مغناطیس دقیق کویر، ایران) استفاده شده است.

آزمایش هایپرترمیای مغناطیسی برای سوسپانسیون ذرات سنتز شده در آب با غلظت ۱۰ میلی‌گرم بر میلی‌لیتر توسط یک القاگر مغناطیسی متناوب فرکانس بالا (HF-H-ST 45) شرکت صدر صنعت دانش) در فرکانس ۳۰۰ کیلوهرتز و در شدت میدان مغناطیسی 10 kA/m انجام شده است. برای انجام آزمایش هایپرترمیای مغناطیسی در شرایط ذکر شده، بعد از تهیه سوسپانسیون با غلظت بیان شده، آن را داخل ظرف مکارتی ریخته و در داخل کوبیل مغناطیسی قرار داده می‌شود. سپس آمپر و ولتاژ دستگاه در مقادیر مشخص



شکل ۱- الگوهای پراش پرتو ایکس برای نمونه CaFe_2O_4 در درصدهای مختلف پلی اتیلن گلایکول



جزئاً معکوس است که در آن کاتیون‌های کلسیم بین مکان‌های چهار وجهی و هشت وجهی توزیع شده‌اند. اشغال مکان‌های بین‌نشین توسط کاتیون‌ها به عوامل شاعع یونی، میدان بلوری، آرایش الکترونی و قطبش یونی وابسته است. وجود کلسیم در مکان‌های بین‌نشین هشت وجهی به دلیل شاعع یونی بزرگ آن است که این مکان را برای آن مرجح می‌سازد. در اثر اعمال پوشش ضربی وارونگی که بصورت کسری از کاتیون‌های آهن در مکان‌های بین‌نشین چهار وجهی تعریف می‌شود تغییر چندانی نمی‌کند.

تصاویر ریزاساختاری ذرات سنتز شده که توسط میکروسکوپ الکترونی رو بشی نشر میدانی گرفته شده است در شکل ۲ نشان داده شده‌اند. همانطور که ملاحظه می‌شود، ذرات سنتز شده بدون پوشش دارای شکل کروی، در حالی که ذرات حاوی پوشش به شکل شبکه کروی هستند. با انتخاب تعدادی از ذرات توزیع اندازه ذرات بدست آمده‌اند (شکل ۳) و با استفاده از آنها، اندازه متوسط ذرات محاسبه و بر روی شکل ۳ نشان داده شده‌اند. نتایج نشان می‌دهد که اندازه ذرات سنتز شده، با پوشش‌دهی کاهش پیدا کرده است و از مقدار متوسط $394/1 \text{ nm}$ برای نمونه بدون پوشش به مقدار $240/5 \text{ nm}$ و $266/3 \text{ nm}$ ، $291/1 \text{ nm}$ نرسیده است. همچنین، نتایج نشان می‌دهد که افزودن میزان پلی اتیلن گلایکول، سبب کوچکتر شدن اندازه متوسط ذرات شده‌اند.

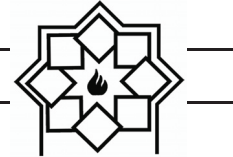
به دلیل شباهت ساختار کریستالی فریت‌های اسپینل، برای تأیید بیشتر تشکیل فریت کلسیم لازم عناصر موجود در آن آنالیز شوند. شکل ۴ طیف پراکندگی انرژی پرتو ایکس (EDX) نمونه فریت کلسیم بدون پوشش را نشان می‌دهد.

پیک‌های اندیس گذاری شده بر شکل (۲۰، ۳۱، ۴۲، ۵۱ و ۴۴) مربوط به ساختار اسپینل فریت کلسیم برای همه نمونه‌ها هستند. همانطور که از الگوی پراش پرتو ایکس معلوم است، افزوده شدن پلی‌اتیلن گلایکول سبب ایجاد ناخالصی $\alpha\text{-Fe}_2\text{O}_3$ همراه با فریت اسپینل کلسیم در نمونه‌های پوشش‌دار می‌شود. همچنین با افزایش مقدار PEG پیک‌های الگوی پراش پهن‌تر می‌شود. پهن‌شدگی می‌تواند به دلیل کمتر شدن اندازه بلورک ذرات سنتز شده باشد. با استفاده از رابطه شرر، اندازه بلورک‌های ذرات سنتز شده محاسبه و در جدول ۱ ارائه شده‌اند. همانطور که ملاحظه می‌شود، پوشش‌دهی ذرات با پلی اتیلن گلایکول سبب کاهش اندازه بلورک ذرات شده است. علت این مساله را می‌توان کند شدن سرعت رشد ذرات بواسطه احاطه شدن آنها توسط پلی اتیلن گلایکول بیان کرد [۱۷]. همچنین نتایج نشان می‌دهد که افزایش میزان پلی اتیلن گلایکول سبب تغییر چندانی در اندازه بلورک ذرات سنتز شده نمی‌شود.

جدول ۱ - اندازه محاسبه شده بلور و توزیع کاتیونی

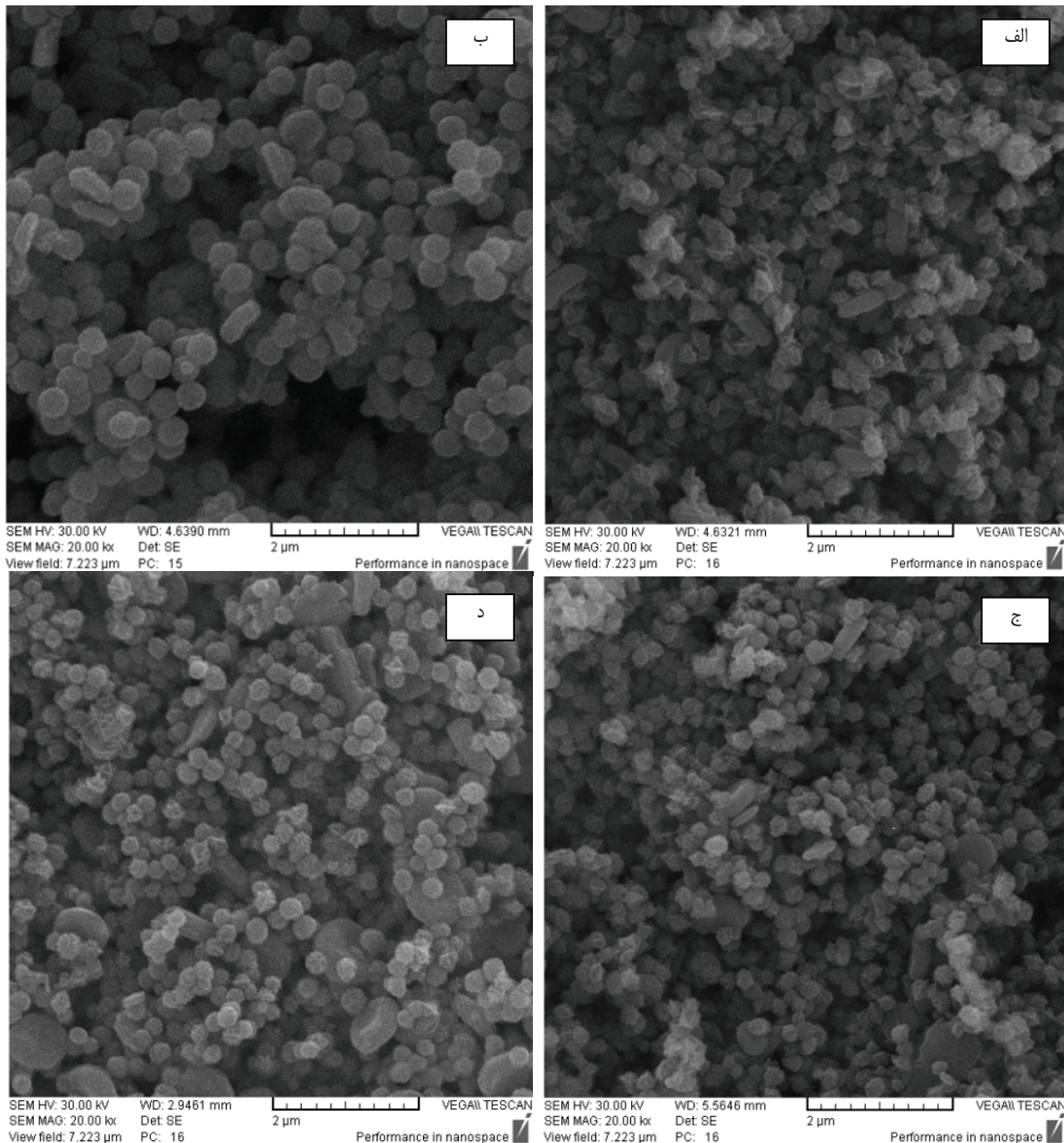
نمونه اندازه بلور (nm)	توزیع کاتیونی
۳۵/۷	(Ca _{0.11} Fe _{0.89}) _A [Ca _{0.89} Fe _{1.11}] _B O ₄
۲۹/۷	(Ca _{0.10} Fe _{0.90}) _A [Ca _{0.90} Fe _{1.10}] _B O ₄
۲۹/۷	(Ca _{0.08} Fe _{0.92}) _A [Ca _{0.92} Fe _{1.08}] _B O ₄
۲۹/۶	(Ca _{0.07} Fe _{0.93}) _A [Ca _{0.93} Fe _{1.07}] _B O

توزیع کاتیونی بدست آمده از پالایش ریتولد که در جدول ۱ ارائه شده‌اند نشان می‌دهند که فریت کلسیم دارای ساختار

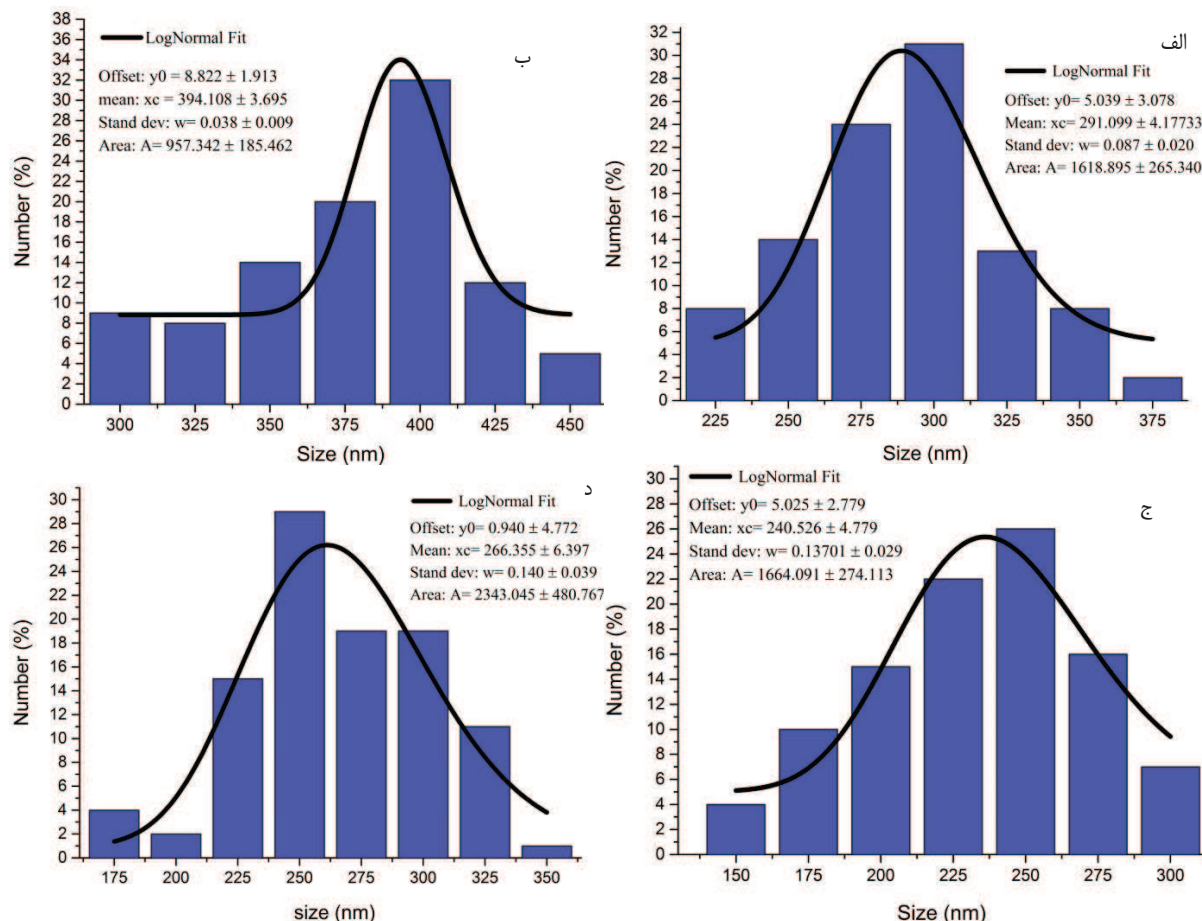
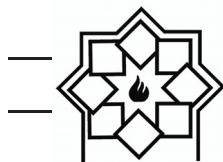


وجود دارند و هیچگونه ناخالصی در این ذرات موجود نیست.

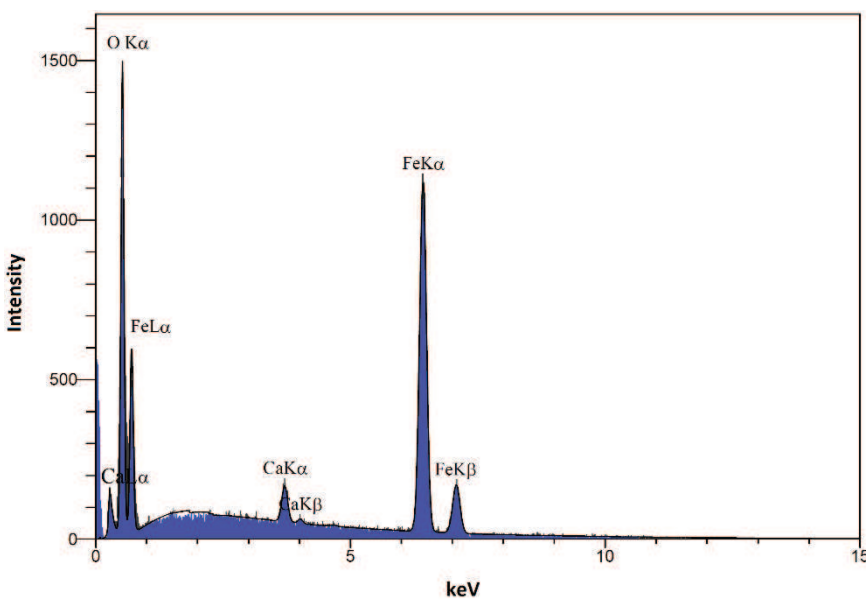
همانطور که در شکل مشخص است، تنها عناصر اکسیژن، آهن (Fe) و کلسیم (Ca) در ساختار ذرات سنتز شده (O)



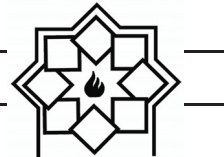
شکل ۲- تصاویر میکروسکوپ الکترونیکی روبشی نشر میدان از نمونه‌های سنتز شده،
(الف) نمونه S1، (ب) نمونه S2، (ج) نمونه S3 و (د) نمونه S4



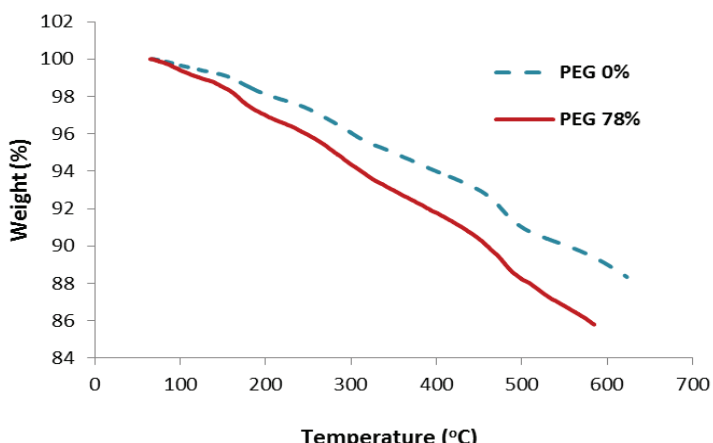
شکل ۳- توزیع اندازه ذرات برای نمونه‌های سنتز شده، (الف) نمونه S1، (ب) نمونه S2، (ج) نمونه S3 و (د) نمونه S4



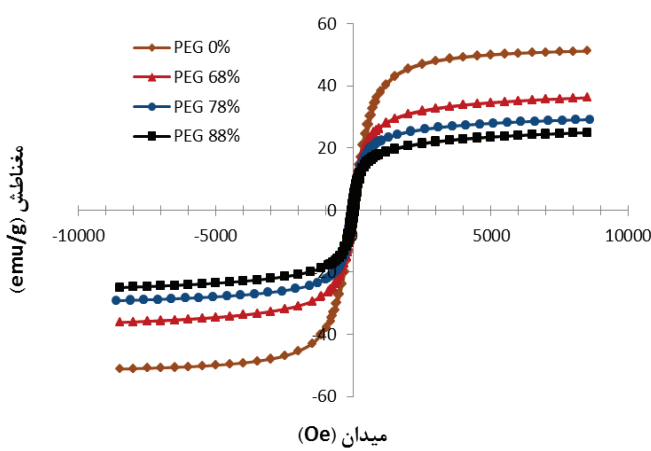
شکل ۴- طیف پراکنده انرژی پرتوایکس (EDX) ذرات مغناطیسی فربت کلسیم بدون پوشش



پوشش، به حدود $24/9$ emu/g برای نمونه فریت کلسیم با ۸۸ درصد پوشش پلی اتیلن گلایکول تقلیل می‌یابد. همچنین، افزایش بیشتر مقدار پلی اتیلن گلایکول، سبب کاهش بیشتر مقدار مغناطش اشبع می‌شود. این کاهش به دلیل افزایش میزان ماده غیرمغناطیسی پلی اتیلن گلایکول در نمونه‌ها می‌باشد [۹] که حضور پلی اتیلن گلایکول در نمونه‌های را مجددًا تأیید می‌کند. علاوه بر این، همانطور که نتایج آزمون پراش پرتو ایکس نشان داد، حضور پلی اتیلن گلایکول سبب ایجاد ماده آنتی فرومغناطیس $\alpha\text{-Fe}_2\text{O}_3$ می‌شود که منجر به کاهش بیشتر مغناطش اشبع نمونه‌های پوشش دار می‌شود.



شکل ۵- نتایج آزمایش ترموگراویمتری بر روی نمونه‌های بدون پوشش (S1) و نمونه با ۷۸٪ پوشش پلی اتیلن گلایکول (S3)



شکل ۶- نمودار مغناطش نمونه‌های سنتز شده بر اساس میزان پلی اتیلن گلایکول موجود در نمونه

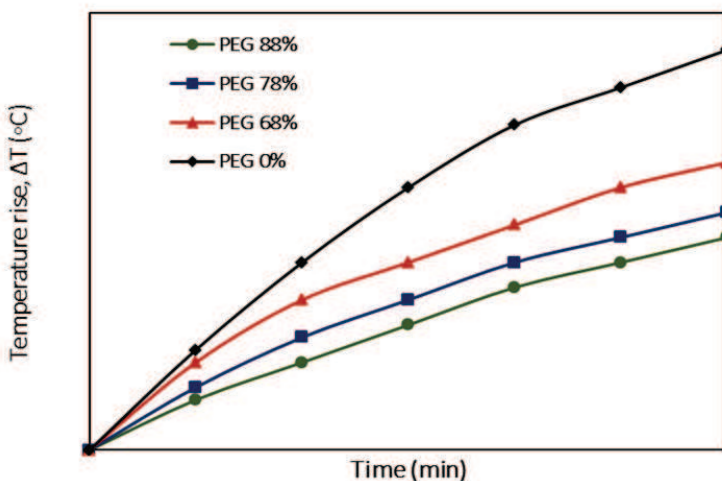


جدول ۲- مقادیر مغناطش اشباع، پسماندزدای مغناطیسی و میزان اتلاف مغناطیسی نمونه‌های سنتز شده

نمونه	مغناطش اشباع (g)	(emu/g)	پسماندزدای مغناطیسی (Oe)	اتلاف مغناطیسی (W/g)
۱/۱۲	۵۱/۱	۵۱/۲	S1	
۰/۹۸	۵۵/۴	۳۶/۲	S2	
۰/۷۰	۶۰/۸	۲۹/۲	S3	
۰/۵۶	۵۷/۶	۲۴/۹	S4	

داده شده است. با استفاده از این منحنی‌ها و معادله (۱)، میزان اتلاف مغناطیسی (SLP) نمونه‌ها محاسبه و در جدول ۲ نشان داده شده است.

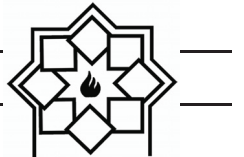
نتایج هایپرترمیا مغناطیسی بواسطه اعمال میدان مغناطیسی متناوب با فرکانس ۳۰۰ kHz و شدت میدان مغناطیسی ۱۰ kA/m بر سوسپانسیون ذرات سنتز شده فریت کلسیم پوشش دار و بدون پوشش در شکل ۷ نشان



شکل ۷- تغییرات دمایی سوسپانسیون ذرات سنتز شده در فرآیند هایپرترمیا مغناطیسی

قرار داده شده در میدان مغناطیسی متناوب در شرایط آزمایشی این تحقیق، توسط مکانیسم افت هیسترزیس می‌باشد چراکه مکانیسم‌های دیگر ایجاد گرمایی مغناطیسی که عبارتند از تولید گرما توسط جریان‌های گردابی و توسط آسایش‌های نیلز و براونی، نمی‌توانند در شرایط عملیاتی حاضر در آزمایشات موثر باشند. تولید گرما توسط ایجاد جریان‌های گردابی، در اندازه ذرات بزرگ‌تر از سانتی‌متر و

همانطور که ملاحظه می‌شود، طبق نتایج بدست آمده از آزمایش مغناطیسی‌سنجد نمونه لرزان، نمونه‌های با اشباع مغناطیسی بالاتر، توانایی بالا بردن دمای سوسپانسیون را به مقداری بیشتر در شرایط یکسان میدان متناوب مغناطیسی دارند و به همین ترتیب، میزان بالاتری از اتلاف مغناطیسی را دارا می‌باشند. علت این مساله را این‌گونه می‌توان بیان کرد که مکانیسم موثر در تولید گرما توسط مواد مغناطیسی



برای نمونه بدون پوشش تا $24/9 \text{ emu/g}$ برای نمونه با حداکثر پوشش بدست آمد. با استفاده از مکانیسم هیسترزیس برای تولید گرما، سوپاپانسیون ذرات ستتر شده افزایش دمایی معادل حداکثر $3/5^{\circ}\text{C}$ و حداقل 2°C با اتلاف مغناطیسی حداکثر $1/12 \text{ W/g}$ و حداقل $0/56 \text{ W/g}$ به ترتیب برای نمونه‌های بدون پوشش و با حداکثر پوشش در میدان مغناطیسی متناوب به همراه داشتند.

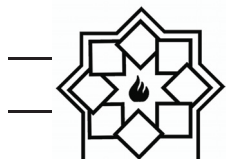
مراجع

- [1] J. Estelrich, M. J. Sánchez-Martín, and M. A. Busquets, "Nanoparticles in magnetic resonance imaging: From simple to dual contrast agents," *International Journal of Nanomedicine*, vol. 10, pp. 1727-1741, 2015.
- [2] M. Saeedi, O. Vahidi, V. Goodarzi, M. R. Saeb, L. Izadi, and M. Mozafari, "A new prospect in magnetic nanoparticle-based cancer therapy: Taking credit from mathematical tissue-mimicking phantom brain models," *Nanomedicine: Nanotechnology, Biology and Medicine*, vol. 13, pp. 2405-2414, 2017.
- [3] A. Kheradmand, O. Vahidi, and S. M. Masoudpanah, "Magnetic, hyperthermic and structural properties of Zn substituted CaFe₂O₄ powders," *Applied Physics A*, vol. 124, p. 255, 2018.
- [4] L. Khanna and N. K. Verma, "Synthesis, characterization and in vitro cytotoxicity study of calcium ferrite nanoparticles," *Materials Science in Semiconductor Processing*, vol. 16, pp. 1842-1848, 2013.
- [5] M. Mahdavi, M. Ahmad, M. Haron, F. Namvar, B. Nadi, M. Rahman, et al., "Synthesis, Surface Modification and Characterisation of Biocompatible Magnetic Iron Oxide Nanoparticles for Biomedical Applications," *Molecules*, vol. 18, p. 7533, 2013.
- [6] W. Wu, Q. He, and C. Jiang, "Magnetic Iron Oxide Nanoparticles: Synthesis and Surface Functionalization Strategies," *Nanoscale Research Letters*, vol. 3, p. 397, 2008.

تولید گرما توسط آسایش‌های نیاز و براونی، در اندازه ذرات کمتر از 100 نانومتر صورت می‌پذیرد [۱۸] و با توجه به اینکه اندازه عمدۀ ذرات مورد آزمایش در این تحقیق در محدوده 200 تا 500 نانومتر قرار گرفته‌اند، مکانیسم افت هیسترزیس عامل ایجاد حرارت می‌باشد. از آنجایی که مقدار گرمای حاصله از افت هیسترزیس با مساحت سطح حلقه هیسترزیس رابطه مستقیم دارد [۱۹]، میزان گرمای تولیدی توسط ذراتی که مساحت حلقه هیسترزیس بالاتری را دارند، بیشتر خواهد بود. با توجه به اینکه مقدار پسماندزادی مغناطیسی نمونه‌های تولید شده تفاوت قابل ملاحظه‌ای با یکدیگر ندارند (جدول ۲)، مساحت سطح حلقه هیسترزیس ذراتی که اشباع مغناطیسی بالاتری دارند، بیشتر می‌باشد و بنابراین، نمونه بدون پوشش دارای بالاترین مقدار اتلاف مغناطیسی و نمونه با 88 درصد وزنی پلی اتیلن گلایکول، دارای کمترین مقدار اتلاف مغناطیسی می‌باشد.

۴- نتیجه‌گیری

در این تحقیق، ذرات مغناطیسی فریت کلسیم بدون پوشش و پوشش‌دار با مقادیر مختلف پلی اتیلن گلایکول به روش سولوتوermal در محیط اتیلن گلایکول ستتر شد. ذرات ستتر شده بصورت تک فاز و با توزیع کاتیونی جزتاً معکوس برای تمامی نمونه‌ها بود و میزان توزیع با تغییر مقدار پوشش، تغییر قابل توجهی نداشت. مقایسه ذرات بدون پوشش با پوشش‌دار نشان داد که پوشش پلی اتیلن گلایکول، اندازه ذرات ستتر شده را کاهش قابل توجهی می‌دهد و با افزایش مقدار پوشش، اندازه ذرات ستتر شده کاهش می‌یابد. بسته به میزان پوشش، مغناطش اشباع نمونه‌ها از $51/2 \text{ emu/g}$



- [15] J. H. Lee, J. T. Jang, J. S. Choi, S. H. Moon, S. H. Noh, J. W. Kim, et al., "Exchange-coupled magnetic nanoparticles for efficient heat induction," *Nat Nanotechnol*, vol. 6, pp. 418-22, 2011.
- [16] M. Saeedi, O. Vahidi, and S. Bonakdar, "Synthesis and characterization of glycyrrhizic acid coated iron oxide nanoparticles for hyperthermia applications," *Materials Science and Engineering: C*, vol. 77, pp. 1060-1067, 2017.
- [17] S. Akbari, S. M. Masoudpanah, S. M. Mirkazemi, and N. Aliyan, "PVA assisted coprecipitation synthesis and characterization of $MgFe_2O_4$ nanoparticles," *Ceramics International*, vol. 43, pp. 6263-6267, 2017.
- [18] L. Rakhsha, S. M. Masoudpanah, and M. Tamizifar, "Magnetic and heating rate properties of $Mn_{1-x}Co_xFe_2O_4$ nanoparticles synthesized by coprecipitation method," *Iranian Journal of Ceramic Science & Engineering*, vol. 6, pp. 67-78, 2017.
- [19] S.-h. Noh, W. Na, J.-t. Jang, J.-H. Lee, E. J. Lee, S. H. Moon, et al., "Nanoscale Magnetism Control via Surface and Exchange Anisotropy for Optimized Ferrimagnetic Hysteresis," *Nano Letters*, vol. 12, pp. 3716-3721, 2012.
- [7] C. Tassa, S. Y. Shaw, and R. Weissleder, "Dextran-Coated Iron Oxide Nanoparticles: a Versatile Platform for Targeted Molecular Imaging, Molecular Diagnostics and Therapy," *Accounts of chemical research*, vol. 44, pp. 842-852, 2011.
- [8] V. Zamora-Mora, M. Fernández-Gutiérrez, Á. González-Gómez, B. Sanz, J. S. Román, G. F. Goya, et al., "Chitosan nanoparticles for combined drug delivery and magnetic hyperthermia: From preparation to in vitro studies," *Carbohydrate Polymers*, vol. 157, pp. 361-370, 2017.
- [9] M. Saeedi and O. Vahidi, "Preparation and characterization of magnetic core-shell iron oxide@glycyrrhizic acid nanoparticles in ethanol-water mixed solvent," *Applied Physics A*, vol. 124, p. 431, 2018.
- [10] S. Rana, N. G. Shetake, K. C. Barick, B. N. Pandey, H. G. Salunke, and P. A. Hassan, "Folic acid conjugated Fe_3O_4 magnetic nanoparticles for targeted delivery of doxorubicin," *Dalton Trans*, vol. 45, pp. 17401-17408, 2016.
- [11] Z. Hajikarimi, S. Khoei, S. Khoei, and S. R. Mahdavi, "Evaluation of the cytotoxic effects of PLGA coated iron oxide nanoparticles as a carrier of 5-fluorouracil and mega-voltage X-ray radiation in DU145 prostate cancer cell line," *IEEE Trans Nanobioscience*, vol. 13, pp. 403-8, 2014.
- [12] C. Yue-Jian, T. Juan, X. Fei, Z. Jia-Bi, G. Ning, Z. Yi-Hua, et al., "Synthesis, self-assembly, and characterization of PEG-coated iron oxide nanoparticles as potential MRI contrast agent," *Drug Dev Ind Pharm*, vol. 36, pp. 1235-44, 2010.
- [13] A. Makridis, K. Topouridou, M. Tziomaki, D. Sakellari, K. Simeonidis, M. Angelakeris, et al., "In vitro application of Mn-ferrite nanoparticles as novel magnetic hyperthermia agents," *Journal of Materials Chemistry B*, vol. 2, pp. 8390-8398, 2014.
- [14] M. Saeedi and O. Vahidi, "Induced tissue cell death by magnetic nanoparticle hyperthermia for cancer treatment: an in silico study," *Iranian Journal of Chemical Engineering(IJChE)*, vol. 14, pp. 59-79, 2017.